

# Эволюция сверхпроводящего параметра порядка пниктидов Na(Fe, Co)As вдоль фазовой диаграммы допирования

С. А. Кузьмичев<sup>\*+</sup>, И. В. Морозов<sup>×</sup>, А. И. Шилов\*, Е. О. Рахманов<sup>×+</sup>, Т. Е. Кузьмичева<sup>+1)</sup>

<sup>+</sup>Физический факультет, МГУ имени М. В. Ломоносова, 119991 Москва, Россия

<sup>\*</sup>Физический институт им. П. Н. Лебедева РАН, 119991 Москва, Россия

<sup>×</sup>Химический факультет, МГУ имени М. В. Ломоносова, 119991 Москва, Россия

Поступила в редакцию 6 июня 2024 г.

После переработки 13 июня 2024 г.

Принята к публикации 13 июня 2024 г.

С помощью спектроскопии эффекта некогерентных многократных андреевских отражений исследовано многощелевое сверхпроводящее состояние монокристаллов пниктидов Na(Fe, Co)As недодопированных составов. Напрямую определены величины микроскопических сверхпроводящих параметров порядка, их температурные зависимости и соответствующие характеристические отношения  $2\Delta(0)/k_B T_c$ . Собранныя нами значительная статистика данных однозначно указывает на заметное уменьшение степени предположительной анизотропии большой сверхпроводящей щели в передодопированных составах при удалении от антиферромагнитной и нематической областей фазовой диаграммы допирования.

DOI: 10.31857/S1234567824140088, EDN: VBOUTK

**1. Введение.** NaFeAs относится к семейству 111 сверхпроводящих (СП) пниктидов на основе щелочных металлов [1], демонстрирующему интересную нетривиальную физику, однако, остающуюся до сих пор малоизученным (в качестве обзора см. [2]). Из-за наличия щелочного металла пниктиды семейства 111 быстро деградируют в присутствии даже следовых количеств  $\text{H}_2\text{O}$  и  $\text{O}_2$ , поэтому экспериментальный процесс необходимо полностью проводить в защитной атмосфере.

В отличие от большинства пниктидов, NaFeAs сохраняет СП свойства в стехиометрическом составе, демонстрируя антиферромагнитный (АФМ) и структурный (нематический) переход выше  $T_c$  (как показано на вставке к рис. 1). При частичном электронном замещении  $\text{Fe}_{1-x}\text{Co}_x$  АФМ и нематичность в недодопированной (НД) области фазовой диаграммы подавляются, при этом критическая температура достигает максимума  $T_c \approx 22$  К [2]. Уровень Ферми пересекают дырочные и электронные зоны, образующие слабо гофрированные цилиндры вокруг  $\Gamma$  и М-точек зоны Бриллюэна [3], на которых ниже  $T_c$  возникают несколько СП конденсаторов.

Поскольку поверхность Ферми Na(Fe, Co)As типична для пниктидов, его СП щелевая структура может быть описана с помощью универсальных ме-

ханизмов образования куперовских пар посредством спиновых ( $s^\pm$ ) [4], орбитальных ( $s^{++}$ ) [5] и нематических флюктуаций [6]. Важной особенностью ферропникидов является зависимость СП параметра порядка  $\Delta$  от угла  $\theta$  в  $k$ -пространстве, широко наблюдаемая экспериментаторами (в частности, для СП семейства 111 с помощью фотоэмиссионной спектроскопии с угловым разрешением (ARPES) в работах [7–9]). С точки зрения предложенных теоретических моделей, в “чистом”  $s^{++}$ -пределе устойчивое решение в основном достигается при изотропном СП параметре порядка ( $s$ -волновая симметрия), однако при увеличении интенсивности спин-флюктуационного или нематического канала возможно получение большого разнообразия анизотропных распределений  $\Delta(\theta)$ , включая  $d$ - и расширенный  $s$ -волновой тип (как с точками нулей, так и без них) [6, 10, 11].

Экспериментальные исследования СП щелевой структуры семейства NaFeAs крайне немногочисленны. Большинство исследователей сообщают об обнаружении двухщелевой сверхпроводимости с СП параметрами порядка  $\Delta_L$  и  $\Delta_S$ , однако, величины характеристических отношений, полученные различными методами, плохо согласуются [2]. Методом измерения теплопроводности [12] было оценено слабое уменьшение  $2\Delta_L(0)/k_B T_c$  в передодопированных (ПД) составах относительно оптимально допированной области. Оценки типа симметрии СП щелей в NaFeAs-

<sup>1)</sup>e-mail: kuzmichevate@lebedev.ru

пниктидах противоречат друг другу: так, в работах [13] и [14] была показана реализация  $d$ - и  $s$ -волновой симметрии СП щелей, соответственно, как в НД, так и в ПД областях. Подобные противоречия, очевидно, вызваны ограниченностью используемых моделей и ставят вопрос об их расширении для применения к пниктидам железа.

Интересно отметить, что в  $\text{Na}(\text{Fe}, \text{Co})\text{As}$  НД со-става с помощью ARPES была обнаружена заметная угловая зависимость большой СП щели без точек нулей в  $k$ -пространстве [9], ненаблюдаемая теми же исследователями в ПД кристаллах с близкой  $T_c \approx 18$  К. К сожалению, эти исследования не были продолжены для  $\text{Na}(\text{Fe}, \text{Co})\text{As}$  других составов. Таким образом, из-за отсутствия прямых измерений эволюция СП свойств допированных  $\text{NaFeAs}$  при изменении степени замещения до сих пор надежно не определена, хотя подобные данные могли бы дать существенную информацию о механизмах сверхпроводимости пниктидов и взаимодействии АФМ, нематической и СП фаз.

В проведенных ранее исследованиях нашей группы [15–17] были получены предварительные сведения о СП параметрах порядка в  $\text{Na}(\text{Fe}, \text{Co})\text{As}$  различных составов и приведен ряд косвенных аргументов в пользу реализации угловой зависимости  $\Delta_L(\theta)$  в  $k$ -пространстве. В данной работе с помощью прямого локального метода спектроскопии эффекта некогерентных многократных андреевских отражений собрана значительная статистика данных о СП энергетических параметрах и их температурных зависимостях. На основе полученных результатов проведено сравнение СП щелевой структуры  $\text{Na}(\text{Fe}, \text{Co})\text{As}$  НД и ПД составов и определена ее эволюция вдоль фазовой диаграммы допирования.

**2. Детали эксперимента.** Монокристаллы номинального НД состава  $\text{NaFe}_{0.979}\text{Co}_{0.021}\text{As}$  и ПД состава  $\text{NaFe}_{0.955}\text{Co}_{0.045}\text{As}$  в виде тонких пластин прямоугольной формы с линейными размерами до 8 мм были получены кристаллизацией из расплава. Получение прекурсора ( $\text{NaAs}$ ) и подготовка реакционной смеси, отбор полученных кристаллов, подготовка и монтаж образцов для изучения физических свойств проводились в перчаточном боксе в атмосфере аргона с концентрацией кислорода и паров воды менее 0.1 млн<sup>-1</sup>. Для получения  $\text{NaAs}$  стехиометрическое количество мышьяка постепенно добавляли к расплавленному в агатовой ступке  $\text{Na}$ . Далее в алундовый тигель к приготовленному  $\text{NaAs}$  добавляли  $\text{Fe}$  и  $\text{CoAs}$  в нужных соотношениях, тигель с реакционной смесью заваривали в герметичный ниобиевый контейнер для исключения потери щелочного метал-

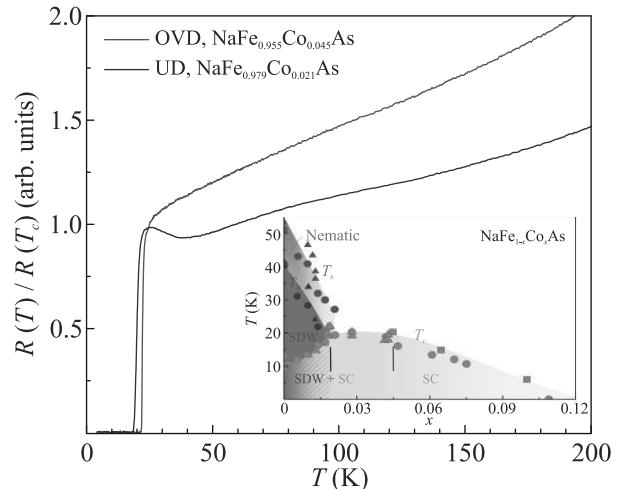


Рис. 1. (Цветной онлайн) Температурная зависимость сопротивления монокристаллов номинальных составов  $\text{NaFe}_{0.979}\text{Co}_{0.021}\text{As}$  (НД, синяя кривая) и  $\text{NaFe}_{0.955}\text{Co}_{0.045}\text{As}$  (ПД, красная кривая). На вставке приведена фазовая диаграмма допирования (адаптировано из [2]); штрихами синего и красного цвета отмечен исследованный диапазон

ла, а металлический контейнер запаивали в вакуумированную кварцевую ампулу. Полученную сборку помещали в муфельную печь, нагревали до температуры 1050–1150 °С, некоторое время выдерживали и затем охлаждали до 400–600 °С с последующим отключением печи. Количественный и качественный состав полученных крупных монокристаллов был подтвержден методом рентгеновской дифракции и локального рентгеноспектрального микронализа.

На рисунке 1 приведены температурные зависимости сопротивления монокристаллов  $\text{Na}(\text{Fe}, \text{Co})\text{As}$  НД и ПД составов (данные синего и красного цвета, соответственно) с близкими критическими температурами  $T_c^{\text{bulk}} \approx 20$ –22 К. Для НД кристалла выше  $T_c$  сопротивление уменьшается с ростом температуры, достигает минимума при температуре  $T_s \approx 35$  К структурного перехода, а при более высоких температурах  $R(T)$  демонстрирует относительно слабый рост. Напротив, в ПД составе  $R(T)$  монотонно возрастает и не показывает ни магнитного, ни структурного перехода в соответствии с фазовой диаграммой допирования [2] (см. вставку к рис. 1).

Для создания планарных механически регулируемых наноконтактов сверхпроводник–барьер–сверхпроводник (ScS) с направлением протекания тока вдоль оси с использовалась техника “break-junction” [18]. Геометрия и детали эксперимента с образцами слоистых соединений, преимущества

и недостатки метода подробно описаны в обзоре [19]. В слоистых монокристаллах используемый метод планарного “break-junction” позволяет получать туннельные наноконтакты размером порядка 10–50 нм на ступеньках-и-террасах чистых криогенных сколов, а массивные СП берега обеспечивают эффективный теплоотвод, защищая контактную область от перегрева в процессе пропускания измерительного тока.

Известно, что в SnS-контакте ( $n$  – тонкий нормальный металл) с NS-границами высокой прозрачности (N – объемный нормальный металл, сила туннельного барьера  $Z \lesssim 0.3$ ) и отсутствием фазовой когерентности между СП берегами (диаметр контакта  $d$  больше длины когерентности  $\xi_0$ ) ниже  $T_c$  реализуется эффект некогерентных многократных андреевских отражений (ЭНМАО). Некогерентный андреевский транспорт вызывает на вольтамперной характеристике (ВАХ) такого контакта избыточный ток (относительно нормальной ВАХ выше  $T_c$ ) во всем диапазоне смещений  $eV$ , при этом сверхтоковая ветвь отсутствует [20, 21]. На соответствующем  $dI(V)/dV$ -спектре при  $eV \rightarrow 0$  (так называемая область пьедестала) динамическая проводимость повышается в разы относительно нормальной проводимости  $G_N$  контакта, также возникает серия минимумов субгармонической щелевой структуры (СГС), положение которых  $V_n$  напрямую определяется величиной СП щели  $\Delta$  при любых температурах вплоть до  $T_c$  [20–22]:  $|eV_n(T)| = 2\Delta(T)/n$ ,  $n = 1, 2, \dots$ . Для многощелевого сверхпроводника на  $dI(V)/dV$ -спектре будут присутствовать СГС от каждой щели. Число  $n^*$  наблюдаемых минимумов СГС для планарного контакта (в случае  $Z, \Gamma = 0$ ,  $\Gamma$  – параметр размытия) примерно соответствует отношению размера контакта  $d_c$  и характерной длины неупругого рассеяния  $l_c$  в  $c$ -направлении [21, 23]:  $n^* \approx l_c/d_c$ .

В планарном SnS-контакте в случае баллистического транспорта в  $ab$ -плоскости (если длина свободного пробега  $l_{ab}^{el}$  превышает  $d_{ab}$ )  $k_x$ - и  $k_y$ -компоненты импульса квазичастиц сохраняются, при этом  $k_z$ -компоненты может не сохраняться из-за “перемешивания” носителей вдоль направления тока в результате неупругого рассеяния.

Тип углового распределения  $\Delta(\theta)$  ( $\theta$  – угол в  $k_x k_y$ -плоскости) можно косвенно оценить по форме андреевских минимумов на  $dI(V)/dV$ -спектре баллистического SnS-контакта в рамках подхода [24] (см. рис. 4 в [19]). Гипотетически, в случае изотропной СП щели на  $dI(V)/dV$  должны наблюдаться резкие интенсивные минимумы СГС, при этом сильное давление амплитуд СГС ожидается в случае СП па-

раметра порядка с точками нулей (“нодами”) в распределении  $\Delta(\theta)$ . Для анизотропной СП щели с расширенной  $s$ -волновой симметрией в  $k_x k_y$ -плоскости без точек нулей предполагается [19, 24] появление СГС, состоящей из дублетов (двух минимумов, соединенных “аркой”), протяженность которых определяется максимальной  $\Delta^{\text{out}}$  и минимальной  $\Delta^{\text{in}}$  энергиями связи куперовских пар в  $k$ -пространстве. Напротив, типичная “арочная” форма дублета не предсказывается для случая двух изотропных СП щелей с близкими амплитудами (рис. 4 в [19]). К сожалению, различить два вышеуказанных случая анизотропии СП параметра порядка (образующегося в одной или разных зонах, соответственно) при исследовании реального планарного SnS-контакта (с  $Z, \Gamma \neq 0$  и конечным  $l/d$ ) может быть сложно, принимая во внимание отсутствие соответствующих, расширенных теоретических моделей. В любом случае, степень анизотропии далее будем определять как  $A \equiv 100\% \cdot [1 - \Delta^{\text{in}}/\Delta^{\text{out}}]$ , не спекулируя на ее природе.

Подытоживая, отметим, что ЭНМАО-спектроскопия – это прямой локальный метод определения основных энергетических параметров СП состояния и их температурных зависимостей вплоть до  $T_c$ . Как следствие, одним из важнейших преимуществ ЭНМАО-спектроскопии является возможность определения локальной критической температуры SnS-контакта  $T_c^{\text{local}}$ , соответствующей температуре перехода контактной области (размером до 50 нм) в нормальное состояние. Это позволяет не только получить более точные, локальные значения характеристического отношения  $r_i \equiv 2\Delta_i(0)/k_B T_c^{\text{local}}$ , но и определить эволюцию величин  $\Delta_i(0)$  и  $r_i$  вдоль фазовой диаграммы.

**3. Экспериментальные данные и обсуждение.** На рисунке 2 показаны типичные ВАХ и  $dI(V)/dV$ -спектры SnS-контактов на микротрещине, получаемые при 4.2 К в монокристаллах Na(Fe, Co)As НД (а) и ПД составов (б). Видно, что ВАХ симметричны относительно нуля, воспроизведено не имеют гистерезиса и вместо сверхтоковой ветви демонстрируют область повышенного наклона при  $eV \rightarrow 0$  (“пьедестал”), что исключает джозефсоновскую природу наблюдаемых на  $dI(V)/dV$  особенностей. Помимо этого, на ВАХ наблюдается избыточный ток во всем диапазоне смещений  $eV$  (сравните сплошную и штриховую синие линии на рис. 2а). Данные особенности ВАХ соответствуют реализации режима ЭНМАО и достаточно высокой прозрачности SnS-контакта ( $Z < 1/2$ ) согласно всем соответствующим классическим моделям [20–22].

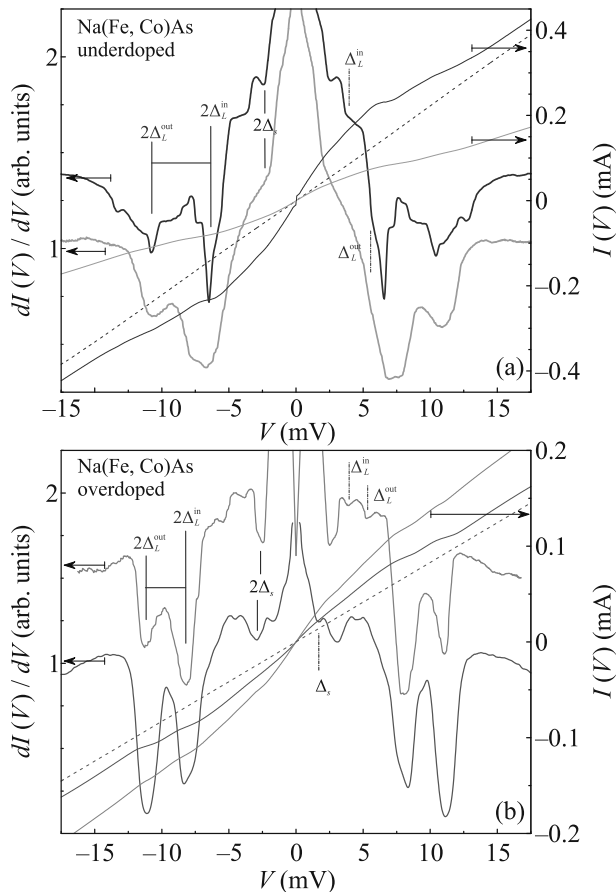


Рис. 2. (Цветной онлайн) ВАХ (правая ось) и  $dI(V)/dV$ -спектры (левая ось) SnS-контактов на базе  $\text{Na}(\text{Fe}, \text{Co})\text{As}$  НД (а) и ПД (б) составов, измеренные при 4.2 К. Для удобства сравнения данные приведены в одном масштабе по оси смещений. При 4.2 К вертикальными штрихами и отмечено положение фундаментальных андреевских гармоник от СП параметров порядка  $2\Delta_L^{\text{out}}$ ,  $2\Delta_L^{\text{in}}$  (дублет) и малой СП щели  $2\Delta_S$ ; штрихпунктирными линиями отмечено ожидаемое положение соответствующих вторых субгармоник. Для сравнения штриховыми линиями приведены ВАХ, соответствующие контактам, показанным синим (а) и красным цветом (б) и измеренные выше  $T_c$

В НД и ПД составах  $dI(V)/dV$ -спектры на рис. 2 имеют схожие андреевские структуры. Для SnS-контакта на базе НД кристалла (рис. 2а) при рассмотрении спектра в сторону уменьшения  $eV$  первой андреевской особенностью является дублет: два минимума при смещениях  $|eV| \approx 10.7$  мэВ и  $|eV| \approx 6.5$  мэВ. Эти минимумы не являются  $n = 1, 2$  субгармониками одной и той же изотропной СП щели, поскольку отношение их положений составляет  $\approx 1.6$  вместо  $V_1/V_2 = 2$ , предсказываемого для СГС. Значит, каждый из этих минимумов является фундаментальной ( $n = 1$ ) гармоникой от СП параметров по-

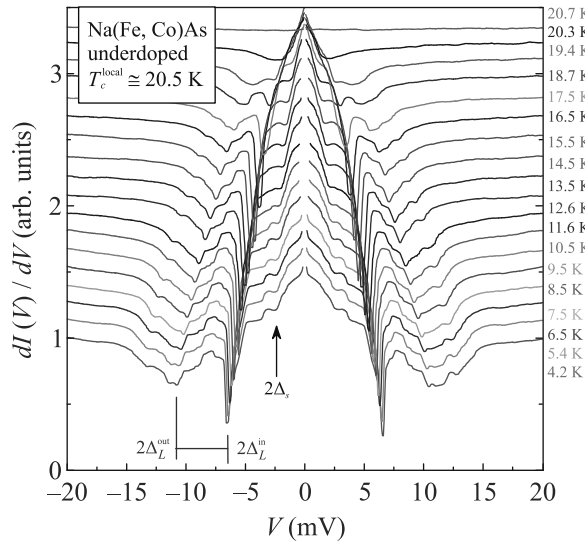


Рис. 3. (Цветной онлайн) Эволюция  $dI(V)/dV$ -спектра SnS-контакта (аналогичен кривой синего цвета на рис. 2а,  $T_c^{\text{local}} \approx 20.5$  К), полученного в монокристалле НД состава, с температурой. Кривые намеренно сдвинуты по вертикали, слабая нелинейность  $dI(V)/dV$  нормального состояния подавлена для удобства. Вертикальными штрихами и стрелками при 4.2 К отмечены фундаментальные андреевские гармоники от СП энергетических параметров  $\Delta_L^{\text{out}}$ ,  $\Delta_L^{\text{in}}$ ,  $\Delta_S$

рядка, которые далее будут обозначены как  $\Delta_L^{\text{out}}$  и  $\Delta_L^{\text{in}}$ . Положения минимумов напрямую определяют их амплитуды при  $T \ll T_c$  как  $\Delta_L^{\text{out}}(0) \approx 5.35$  мэВ и  $\Delta_L^{\text{in}}(0) \approx 3.25$  мэВ. Степень предположительной анизотропии можно оценить как  $A_L \approx 39\%$ . Значительная амплитуда данных андреевских минимумов однозначно указывает на отсутствие точек нулей наблюдаемых СП параметров порядка ( $s$ - или расширенная  $s$ -волновая симметрия). Особенности  $dI(V)/dV$ , наблюдаемые при вдвое меньших смещениях (штрихпунктирные линии на рис. 2а) можно интерпретировать как вторые ( $n = 2$ ) субгармоники от этих СП параметров порядка. При малых смещениях  $|eV| \approx 2.4$  мэВ присутствует фундаментальная гармоника от малой СП щели  $\Delta_S(0) \approx 1.2$  мэВ.

В НД образцах подобные андреевские структуры воспроизводятся на спектрах полученных планарных SnS-контактов, имеющих различную площадь и нормальное сопротивление  $R_N$  (которое может быть оценено по наклону ВАХ). Таким образом, наблюдаемые структуры отражают внутренние свойства  $\text{Na}(\text{Fe}, \text{Co})\text{As}$  и не могут быть вызваны геометрическими резонансами или поверхностными дефектами.

Похожие, также воспроизводящиеся ВАХ и спектры SnS-контактов были получены в монокристаллах ПД состава (рис. 2б). На  $dI(V)/dV$ -

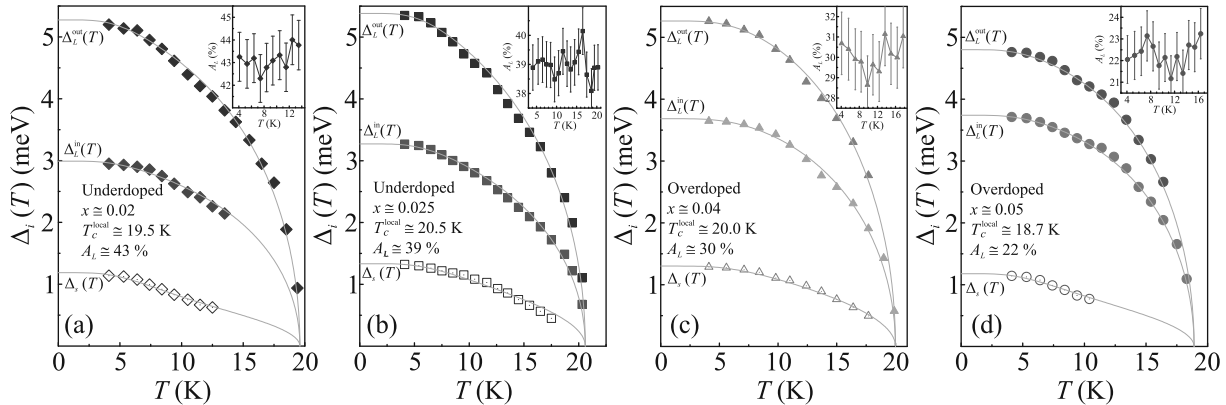


Рис. 4. (Цветной онлайн) Температурные зависимости СП параметров порядка в монокристаллах НД (а), (б) и ПД составов (с), (д). На вставках приведены температурные зависимости предположительной анизотропии большой СП щели  $A_L(T)$ . Локальные  $T_c$  были оценены на основе аппроксимаций многозонной БКШ-образной моделью [25–28] как температуры, при которых  $\Delta_L \rightarrow 0$ . Приблизительные степени замещения  $x$  в  $\text{NaFe}_{1-x}\text{Co}_x\text{As}$  приведены в соответствии с фазовой диаграммой, показанной на вставке к рис. 1

характеристиках при больших смещениях также наблюдается дублет, положения которого напрямую определяют амплитуды  $|eV| = 2\Delta_L^{\text{out}} \approx 11.2$  мэВ и  $|eV| = 2\Delta_L^{\text{in}} \approx 8.2$  мэВ. Заметим, однако, что его относительная ширина значительно меньше наблюдаемой для НД состава и соответствует степени анизотропии  $A_L \approx 27\%$ .

Изменение вида  $dI(V)/dV$ -спектра с температурой показано на рис. 3 для SnS-контакта, полученного в НД кристалле, в качестве примера. Хорошо видно, как с увеличением температуры положение всех андреевских особенностей сдвигается в сторону нуля и уменьшается амплитуда пьедестала. При  $T = 20.7$  К  $> T_c$  андреевские структуры исчезают, и  $dI(V)/dV$ -спектр становится гладким, что соответствует нормальному состоянию контактной области. Подобные измерения  $I(V)$  и  $dI(V)/dV$ -характеристик в широком диапазоне температур были проведены для SnS-контактов на базе НД и ПД образцов. Примеры измеренных напрямую температурных зависимостей СП параметров порядка показаны на рис. 4; данные, полученные на основе рис. 3, показаны на рис. 4б. Для наглядности на рис. 4 зависимости расположены в порядке, соответствующем фазовой диаграмме допирования (т.е. при увеличении  $T_c^{\text{local}}$  в НД области и ее уменьшении в ПД области).

Полученные температурные зависимости трех наблюдаемых энергетических щелевых параметров  $\Delta_L^{\text{out}}(T)$ ,  $\Delta_L^{\text{in}}(T)$  и  $\Delta_S(T)$  для всех составов имеют схожую форму, которая может быть описана в рамках многозонной модели на основе уравнений Москаленко и Сула [25, 26] с перенормировками

температур в интегралах теории Бардина-Купера-Шриффера (БКШ) (основы и ограничения модели, подгоночные параметры аппроксимации подробно описаны в [27, 28]).

Общей особенностью определенных напрямую зависимостей  $\Delta_i(T)$  является аналогичный температурный тренд  $\Delta_L^{\text{out}}(T)$  и  $\Delta_L^{\text{in}}(T)$ : как показано на вставках, степень анизотропии  $A_L(T)$  остается практически постоянной с увеличением температуры (максимальное отклонение  $\pm(1-2\%)$ ). Такое поведение, с большой долей вероятности, указывает на то, что СП параметры порядка  $\Delta_L^{\text{out}}$  и  $\Delta_L^{\text{in}}$  относятся к одному и тому же СП конденсату, анизотропному в  $k$ -пространстве, а не являются отдельными СП щелями, открывающимися в разных зонах на поверхности Ферми (подробнее этот вопрос обсуждается в [17]). Малая СП щель имеет отличающуюся температурную зависимость и убывает с температурой чуть быстрее. В целом, температурные тренды  $\Delta_i(T)$  типичны для случая умеренного межзонного взаимодействия между СП конденсатами в импульсном пространстве.

Для определения эволюции СП щелевой структуры при изменении степени электронного дипирования нами была собрана значительная статистика зависимостей  $\Delta_i(T)$  и определены локальные критические температуры соответствующих SnS-контактов в образцах НД и ПД составов. На рисунке 5а показана репрезентативная выборка вида дублета при  $T \ll T_c$ , наблюдавшегося при больших смещениях на  $dI(V)/dV$ -спектре. Для удобства сравнения данные приведены в одинаковом масштабе по оси смещений,  $eV$  нормировано на  $2\Delta_L^{\text{out}}(0)$ . При рассмотрении слева направо

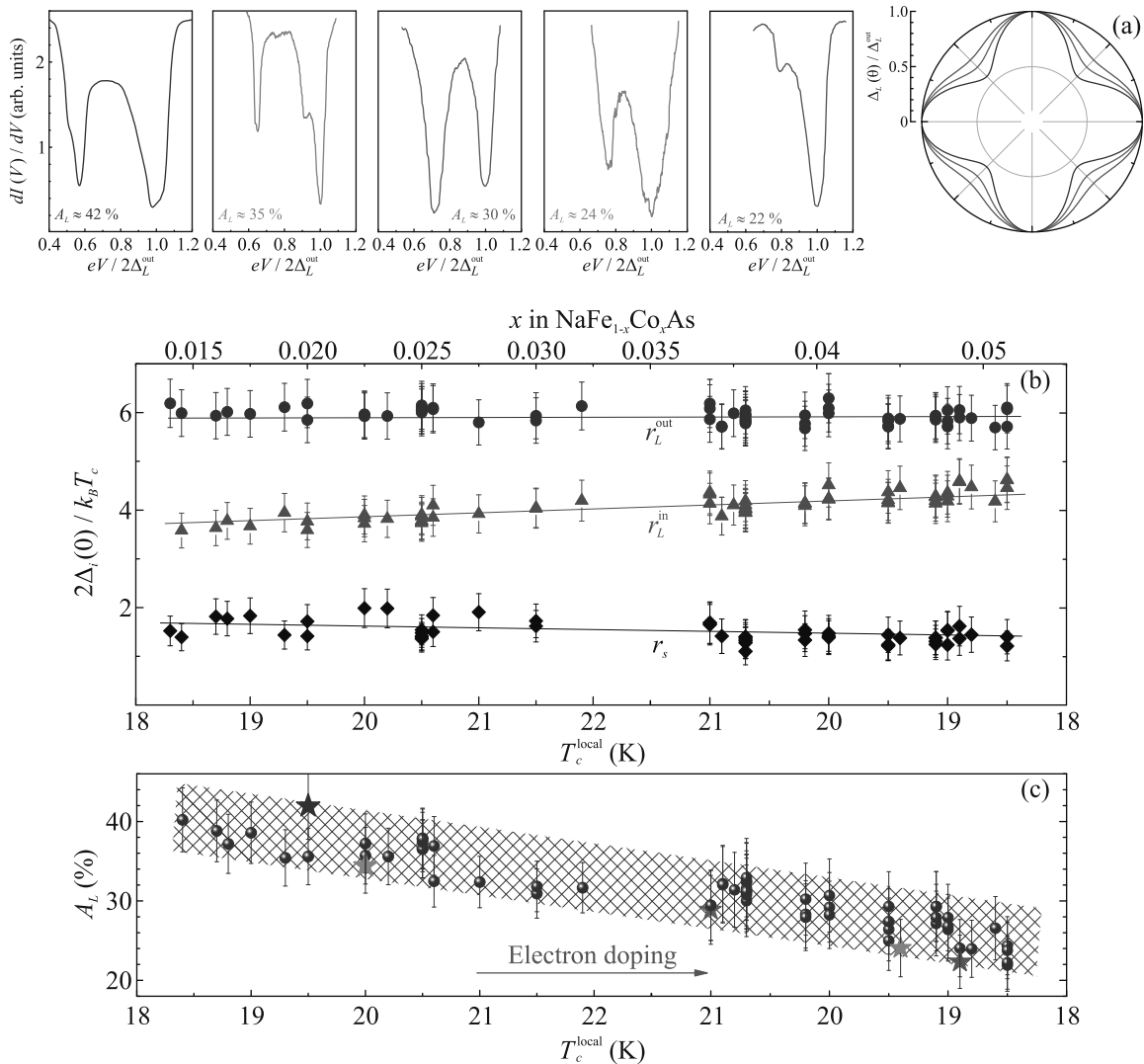


Рис. 5. (Цветной онлайн) (а) – Фрагменты  $dI(V)/dV$ -спектров SnS-контактов с различными  $T_c^{\text{local}}$ , полученные в монокристаллах НД и ПД состава и содержащие дублет от предположительно анизотропной большой СП щели. Для наглядности данные приведены в одинаковом масштабе по оси смещений и расположены в порядке увеличения степени электронного замещения, согласно фазовой диаграмме допирования. Справа соответствующими цветами схематически показано угловое распределение  $\Delta_L(\theta)$  в предположении его  $\cos(4\theta)$ -типа и расширенной  $s$ -волновой симметрии большой СП щели. (б) – Зависимость характеристических отношений  $r_i$  трех СП параметров порядка и (с) – степени анизотропии  $A_L$  от локальной критической температуры SnS-контакта. Звездами соответствующих цветов показаны данные контактов, для которых на (а) приведены дублеты на  $dI(V)/dV$ -спектрах. Приблизительные степени замещения  $x$  приведены в соответствии с фазовой диаграммой на вставке к рис. 1

(что соответствует движению от НД к ПД области) дублет заметно сужается и относительное положение минимума при  $eV = 2\Delta_L^{\text{in}}$  увеличивается. В предложении анизотропии  $\Delta_L$ , открывающейся в одной эффективной зоне (т.е. ее расширенной  $s$ -волновой симметрии без точек нулей), можно схематически представить изменение ее углового распределения в  $k_x k_y$ -плоскости, как показано на рис. 5а справа (цвета соответствуют фрагментам спектров).

Для исследованного диапазона критических температур от  $T_c^{\text{local}} \approx 18.3$  К в НД области до  $T_c^{\text{local}} \approx 18.5$  К в ПД области характеристические отношения  $r_L^{\text{out}} \approx 5.7 - 6.2$  и  $r_s \equiv 2\Delta_S(0)/k_B T_c^{\text{local}} \approx 1.2 - 2.0$  остаются примерно постоянными (рис. 5б). Аналогичный скейлинг амплитуды большой и малой СП щелей  $\Delta_{L,S}(0)$  с  $T_c$  наблюдался нами ранее в оксиликтидах семейства 1111 НД и оптимально дипированных составов [29, 30]. Относительно боль-

шой разброс значений  $r_S$  в  $\text{Na(Fe, Co)As}$ , заметный на рис. 5b, связан с меньшей точностью определения  $\Delta_S(0)$  из-за малой амплитуды ее андреевских гармоник на  $dI(V)/dV$ -спектрах; это может быть вызвано наличием точек нулей в распределении  $\Delta_S(\theta)$ , низкой концентрацией носителей заряда или заметным отношением  $\Gamma/\Delta_S(0)$  в соответствующих зонах. В целом, значение  $r_S < 3.53$  характерно для “слабого” или “ведомого” конденсата в многощелевом сверхпроводнике.

Достаточно сильные изменения при движении от НД к ПД области претерпевает характеристическое отношение  $r_L^{\text{in}}$ : оно практически линейно увеличивается примерно от 3.7 в НД области с  $T_c^{\text{local}} \approx 18.5$  К до 4.3 в ПД составах с  $T_c^{\text{local}} \approx 18.5$  К (треугольники на рис. 5b). Это соответствует постепенному сужению дублета на  $dI(V)/dV$ -спектре и уменьшению степени анизотропии  $A_L$  более чем в полтора раза: в среднем от 40 % до 24 %. Полученные данные качественно согласуются с результатами ARPES [9].

Наблюдаемое различие СП щелевой структуры можно объяснить близостью АФМ и нематических фаз в монокристаллах НД составов (последнее подтверждается наличием структурного перехода на зависимости  $R(T)$ , см. рис. 1) и их заметным влиянием на свойства СП подсистемы. Согласно классической теории ВТСП-купраторов Абрикосова [31], а также расчетам СП щелевой структуры железосодержащих сверхпроводников в рамках  $s^{++}$  и  $s^{\pm}$ -подходов [10, 11], понижение  $\Delta_L^{\text{in}}$  (т.е. минимума предположительного распределения  $\Delta_L(\theta)$  в  $k_x k_y$ -плоскости) относительно  $\Delta_L^{\text{out}}$  может быть достигнуто (преимущественно вдоль вектора нестинга) при усилении интенсивности спин-флуктуационного взаимодействия, ожидаемого в НД области; аналогичная тенденция ожидается при введении спаривания посредством нематических флуктуаций [6].

Линейная экстраполяция зависимостей  $r_i(T_c^{\text{local}})$ , приведенных на рис. 5b, предсказывает изотропизацию  $\Delta_L$  в сильно передопированной области с  $T_c \approx 8$  К (что примерно соответствует составу  $\text{NaFe}_{0.91}\text{Co}_{0.09}\text{As}$  согласно фазовой диаграмме на рис. 1 в [2]) и, напротив, сильную анизотропию нулей  $\Delta_L(\theta)$  вблизи ( $> 60\%$ ,  $\Delta_L^{\text{in}} \rightarrow \Delta_S$ ) стехиометрического состава. Полученное нами значительное усиление анизотропии большой СП щели при приближении к АФМ и нематической фазе однозначно указывает на важность спин-флуктуационного и/или нематического канала в механизме куперовского спаривания и их заметном влиянии на свойства СП подсистемы в  $\text{Na(Fe, Co)As}$ .

**4. Заключение.** Методами спектроскопии эффекта некогерентных многократных андреевских отражений планарных контактов на микротрещине в монокристаллах  $\text{Na(Fe, Co)As}$  собрана значительная статистика измеренных локально и напрямую данных об амплитудах, характеристических отношениях и температурных зависимостях СП параметров порядка. Проведено сравнение СП щелевой структуры  $\text{Na(Fe, Co)As}$  НД и ПД составов с близкими  $T_c > 18.3$  К и определена эволюция СП щелевой структуры вдоль фазовой диаграммы допирования. Обнаружено заметное (почти в 1.7 раза), практически линейное усиление степени анизотропии большой СП щели в НД области, что указывает на сильное влияние АФМ и нематической фаз на свойства СП подсистемы пниктидов  $\text{Na(Fe, Co)As}$ . Аппроксимация полученной зависимости предсказывает изотропизацию большой СП щели  $\Delta_L^{\text{out}} \approx \Delta_L^{\text{in}}$  в сильно передопированном составе  $\text{NaFe}_{0.91}\text{Co}_{0.09}\text{As}$  с  $T_c \approx 8$  К и  $\Delta_L^{\text{in}} \rightarrow 0$   $\Delta_S$  вблизи стехиометрического состава  $\text{NaFeAs}$ .

Измерения частично проведены с использованием оборудования Центра коллективного пользования Физического института им. П. Н. Лебедева Российской академии наук.

**Финансирование работы.** Работа выполнена в рамках проекта Российского научного фонда 22-72-10082.

**Конфликт интересов.** Авторы данной работы заявляют, что у них нет конфликта интересов.

1. J. H. Tapp, Z. Tang, B. Lv, K. Sasmal, B. Lorenz, P. C. W. Chu, and A. M. Guloy, Phys. Rev. B **78**, 060505(R) (2008).
2. T. E. Kuzmicheva and S. A. Kuzmichev, JETP Lett. **114**, 630 (2021).
3. M. D. Watson, S. Aswartham, L. C. Rhodes, B. Parrett, H. Iwasawa, M. Hoesch, I. Morozov, B. Büchner, and T. K. Kim, Phys. Rev. B **97**, 035134 (2018).
4. I. I. Mazin, D. J. Singh, M. D. Johannes, and M. H. Du, Phys. Rev. Lett. **101**, 057003 (2008).
5. H. Kontani and S. Onari, Phys. Rev. Lett. **104**, 157001 (2010).
6. L. Benfatto, B. Valenzuela, and L. Fanfarillo, npj Quantum Mater. **3**, 56 (2018).
7. S. V. Borisenko, V. B. Zabolotnyy, A. A. Kordyuk, D. V. Evtushinsky, T. K. Kim, I. V. Morozov, R. Follath, and B. Büchner, Symmetry **4**, 251 (2012).
8. K. Umezawa, Y. Li, H. Miao, K. Nakayama, Z.-H. Liu, P. Richard, T. Sato, J. B. He, D.-M. Wang, G. F. Chen, H. Ding, T. Takahashi, and S.-C. Wang, Phys. Rev. Lett. **108**, 037002 (2012).

9. Q. Q. Ge, Z. R. Ye, M. Xu, Y. Zhang, J. Jiang, B. P. Xie, Y. Song, C. L. Zhang, P. Dai, and D. L. Feng, Phys. Rev. X **3**, 011020 (2013).
10. T. Saito, S. Onari, and H. Kontani, Phys. Rev. B **88**, 045115 (2013).
11. T. Saito, Y. Yamakawa, S. Onari, and H. Kontani, Phys. Rev. B **92**, 134522 (2015).
12. G. Tan, P. Zheng, X. Wang, Y. Chen, X. Zhang, J. Luo, T. Netherton, Y. Song, P. Dai, C. Zhang, and S. Li, Phys. Rev. B **87**, 144512 (2013).
13. K. Cho, M. A. Tanatar, N. Spyrisson, H. Kim, Y. Song, P. Dai, C. L. Zhang, and R. Prozorov, Phys. Rev. B **86**, 020508(R) (2012).
14. S. Y. Zhou, X. C. Hong, X. Qiu, B. Y. Pan, Z. Zhang, X. L. Li, W. N. Dong, A. F. Wang, X. G. Luo, X. H. Chen, and S. Y. Li, Europhys. Lett. **101**, 17007 (2013).
15. S. A. Kuzmichev, I. V. Morozov, A. I. Shilov, E. O. Rakhmanov, and T. E. Kuzmicheva, JETP Lett. **117**, 612 (2023).
16. L. Morgun, S. Kuzmichev, I. Morozov, A. Degtyarenko, A. Sadakov, A. Shilov, I. Zhuvagin, Y. Rakhmanov, and T. Kuzmicheva, Materials **16**, 6421 (2023).
17. S. Kuzmichev, A. Muratov, S. Gavrilkin, I. Morozov, A. Shilov, Y. Rakhmanov, A. Degtyarenko, and T. Kuzmicheva, Eur. Phys. J. Plus **139**, 74 (2024).
18. J. Moreland and J. W. Ekin, J. Appl. Phys. **58**, 3888 (1985).
19. S. A. Kuzmichev and T. E. Kuzmicheva, Low Temp. Phys. **42**, 1008 (2016).
20. M. Octavio, M. Tinkham, G. E. Blonder, and T. M. Klapwijk, Phys. Rev. B **27**, 6739 (1983).
21. R. Kümmel, U. Gunsenheimer, and R. Nicolsky, Phys. Rev. B **42**, 3992 (1990).
22. D. Averin and A. Bardas, Phys. Rev. Lett. **75**, 1831 (1995).
23. Z. Popović, S. A. Kuzmichev, and T. E. Kuzmicheva, J. Appl. Phys. **128**, 013901 (2020).
24. T. P. Devereaux and P. Fulde, Phys. Rev. B **47**, 14638 (1993).
25. V. A. Moskalenko, Phys. Met. Metallogr. **8**, 25 (1959).
26. H. Suhl, B. T. Matthias, and L. R. Walker, Phys. Rev. Lett. **3**, 552 (1959).
27. S. A. Kuzmichev, T. E. Kuzmicheva, and S. N. Tchesnokov, JETP Lett. **99**, 295 (2014).
28. T. E. Kuzmicheva and S. A. Kuzmichev, Low Temp. Phys. **45**, 1161 (2019).
29. T. E. Kuzmicheva, S. A. Kuzmichev, M. G. Mikheev, Ya. G. Ponomarev, S. N. Tchesnokov, V. M. Pudalov, E. P. Khlybov, and N. D. Zhigadlo, Phys.-Uspekhi **57**, 819 (2014).
30. T. E. Kuzmicheva, S. A. Kuzmichev, K. S. Pervakov, V. M. Pudalov, and N. D. Zhigadlo, Phys. Rev. B **95**, 094507 (2017).
31. A. A. Abrikosov, Physica C **341-348**, 97 (2000).